

УДК 621.774

Сокуренко В.П., Литвинский Я.И., Кучай А.В.

К ВОПРОСУ ОПРЕДЕЛЕНИЯ ОСНОВНЫХ ПАРАМЕТРОВ ОЧАГА ДЕФОРМАЦИИ ПРИ ЗАКАТКЕ ДНИЩ БАЛЛОНОВ

Произведен расчёт основных параметров очага деформации при закатке днищ баллонов с учётом зазора.

Виконано розрахунок основних параметрів середовища деформації при закатці днищ балонів враховуючи зазор.

The calculation of the main parameters of deformation zone while rolling up the bottoms of the balloons taking into account the gap had been carried out.

Введение

Одним из основных параметров при конструировании машин для изготовления стальных газовых баллонов способом закатки является усилие, действующее со стороны закатываемой заготовки на деформирующий инструмент – формователь. Для определения усилия необходимо расчётным путём найти величину контактной поверхности инструмента с заготовкой.

При изготовлении баллонов закатка днищ производится на предварительно нагретом конце вращающейся заготовки инструментом трения скольжения с плоской поверхностью (рис. 1). В процессе рабочего хода инструмент совершает поворот на 90° вокруг вертикальной оси, проходящей через точку О.

В ранее выполненных работах [1-3]расчёты параметров очага деформации при закатке днищ выполнялись без учёта зазора δ между заготовкой и инструментом, хотя наличие зазора меняет решение задачи по определению площади контактной поверхности.

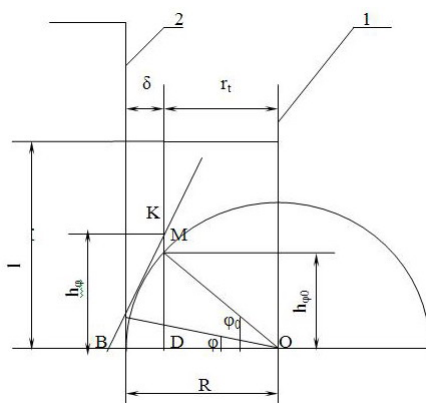


Рисунок 1 - Принципиальная схема закатки днища баллона
1- заготовка; 2-инструмент.

Весь цикл закатки днища состоит из трёх стадий. Первая стадия (при наличии зазора между инструментом и заготовкой), характери-

зуется непрерывным поступлением металла в очаг деформации и обжатием новых порций металла вместе с продолжающимся обжатием металла, уже находящегося в очаге деформации. Первая стадия заканчивается тогда, когда прекращается поступление в очаг деформации новых порций металла.

На второй стадии наиболее удалённые от торца участки заготовки, постепенно оказываясь вне зоны контакта с инструментом, приобретают форму полусферы. Наряду с этим остающаяся в зоне контакта с инструментом часть заготовки подвергается дальнейшему обжатию.

После смыкания кромок торца заготовки начинается третья стадия: окончательное формирование полусферического днища.

При расчёте контактной поверхности без учёта зазора максимальная длина очага деформации будет в начале процесса закатки при $\phi=0$. В действительности на первой стадии процесса l изменяется от 0 до величины l_{ϕ_0} .

$$l_{\phi_0}=l-h_{\phi_0},$$

где l -вылет заготовки (длина участка заготовки, идущего на изготовление днища), h_{ϕ_0} -соответствующий отрезку MD на рис 1.

Из треугольника ODK найдём угол ϕ , при котором длина контактной поверхности будет максимальной.

$$\cos \phi_0 = r_t/R,$$

где r_t - радиус заготовки; R - поворота формователя.

$$\phi = \arccos(rt/R), \quad (1)$$

Длина контактной поверхности (l_ϕ) на первом этапе закатки определяется из условия:

$$l_\phi = l - h_\phi, \quad (2)$$

где l_ϕ -длина контактной поверхности при заданном угле поворота формователя ϕ .

Из треугольника BDK

$$h_\phi = \frac{R - r_t \cos \phi}{\sin \phi}, \quad (3)$$

Для определения угла, при котором происходит касание формователя наружной образующей заготовки определим угол поворота формователя для заданной величины h_ϕ (см рис. 1).

$$\sin \phi = \frac{2 \cdot h_\phi \cdot R - \sqrt{4h_\phi R^2 - 4(R^2 - r^2)(h^2 + r^2)}}{2(h^2 + r^2)}$$

Подставив в полученную формулу $h_\phi=l$ найдём угол первого касания заготовки формователем.

Расчёты показывают, что для реальных случаев закатки днищ первое касание формователем заготовки происходит при угле поворота равном $1,5-2,0^\circ$, а максимальная длина контакта соответствующей углу поворота формователя $15-20^\circ$, т.е. практически третью часть уг-

ла поворота формователя на первом этапе происходит с увеличением длины контактной поверхности, а не с её уменьшением, как это трактуется в ряде публикаций [1-3]. Это принципиально меняет понимание о влиянии зазора между формователем и заготовкой на процесс закатки днища.

Для определения площади контактной поверхности необходимо определить ширину дуги контакта на торце заготовки [1] b_φ .

Из геометрических соотношений эта величина может быть определена из выражения

$$b_\varphi = \sqrt{r_{\varphi-\Delta\varphi}^2 - r_\varphi^2}, \quad (4)$$

где r_φ -радиус на торце заготовки в рассматриваемый момент времени,

$r_{\varphi-\Delta\varphi}$ -радиус на торце заготовки за один оборот до рассматриваемого момента.

$$r_\varphi = R \cdot l\varphi \cdot \sin\varphi, \quad (5)$$

$$\Delta\varphi = 60 \cdot 90 / n \cdot \tau \quad (6)$$

где n -частота вращения заготовки, об/мин, τ - полное время закатки, с.

На втором этапе закатки длина контактной поверхности рассчитывается по формуле

$$l_\varphi = l \cdot h_{\varphi_0} \cdot R(\varphi - \varphi_0), \quad (7)$$

где h_{φ_0} -координата, при которой длина контактной поверхности будет максимальна, мм, φ_0 -угол поворота при котором длина контактной поверхности будет максимальна, град.

Ширина контактной поверхности на втором этапе закатки вычисляется по формуле аналогичной формуле (4), однако r_φ находится из зависимости

$$r_\varphi = R \cdot \cos\varphi \cdot (l - [h_{\varphi_0} + R(\varphi - \varphi_0)] \sin\varphi), \quad (8)$$

В работах [1-2] контактная поверхность была представлена в форме треугольника либо половины эллипса. При этом рекомендовалось учитывать поправочным коэффициентом некоторое увеличение ширины контактной поверхности за счёт явления «наката» - дополнительного изгиба участков заготовки, вступающих в контакт с поверхностью инструмента.

На основании сопоставления результатов различных расчётов наиболее целесообразно определять площадь контактной поверхности S при закатке днищ баллонов из выражения

$$S = k l_\varphi b_\varphi, \quad (9)$$

где k -поправочный коэффициент, определяемый с учётом экспериментальных данных.

ЛИТЕРАТУРА

1. В.Г. Капорович. Производство деталей из труб обкаткой М.: Машиностроение, 1978. – 136с., ил.
2. Ю.М. Матвеев, Я.М. Шехет. Исследование основных параметров процесса производства баллонов для газа. Черметинформация, 1967.-10с.